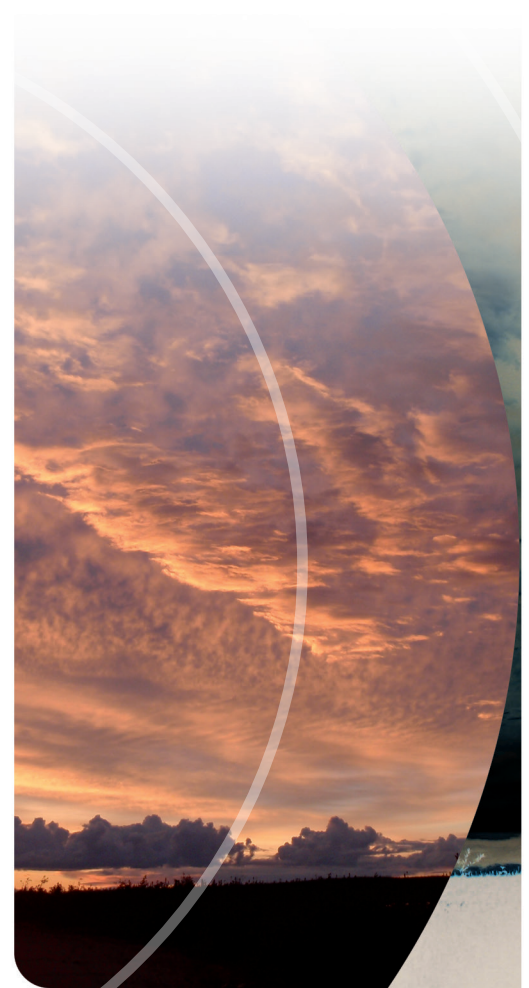


NOUVELLES CIBLES POUR L'EXPLORATION MINÉRALE TRAVAUX GÉOSCIENTIFIQUES 2014



Nouvelles cibles pour l'exploration minérale

Travaux géoscientifiques 2014

PRO 2014-01

Introduction

Géologie Québec présente encore cette année les cibles d'intérêt économique découlant des travaux géoscientifiques de l'année 2014. L'acquisition de nouvelles connaissances géoscientifiques est l'une des principales missions de Géologie Québec. Ces connaissances contribuent à la mise en valeur des ressources minérales du territoire québécois et favorisent la découverte de nouveaux gîtes par l'industrie minière.

Lors des travaux sur le terrain, les géologues du ministère de l'Énergie et des Ressources naturelles ont identifié des zones où le contexte géologique est favorable à l'exploration minière. Ces zones d'intérêt n'ont jamais fait l'objet de travaux détaillés, mais méritent d'être examinées plus à fond par les compagnies d'exploration. Ces informations nouvellement recueillies seront rendues publiques dès le mois de novembre, durant l'événement Québec Mines 2014.

Cibles 2014 pour l'exploration minière

Dans ce document, une cible correspond à une zone où le contexte géologique est favorable à l'exploration minière. Les informations fournies sur ces cibles proviennent essentiellement d'observations de terrain.

À la suite des travaux géoscientifiques réalisés au cours de l'année 2014, 53 cibles ont été identifiées (excluant celles émanant des études de potentiel minéral). On retrouve trois types de cibles : 1) les cibles **ponctuelles** mesurant moins de 100 mètres; 2) les cibles **locales** dont la taille varie de 100 mètres à 1 kilomètre; et 3) les cibles **régionales** qui font plus de 1 kilomètre.

Toutes ces cibles sont localisées dans un tableau indicatif, entre autres, leur coordonnée géographique précise, le nom du projet d'acquisition auquel elles sont associées, ainsi que le numéro de la photoprésentation correspondante. Les participants à Québec Mines 2014 peuvent consulter les

photoprésentations et rencontrer les géologues du Ministère pour en apprendre davantage sur ces nouvelles cibles et sur le potentiel minéral des différentes régions du Québec.

Une nouveauté cette année!

Les cibles d'exploration peuvent désormais être consultées dans la carte interactive du SIGÉOM (Système d'information géomineière du Québec), accessible à l'adresse suivante :

http://sigeom.mrn.gouv.qc.ca/signet/classes/I1108_afchCartelIntr

De plus, vous pourrez y trouver toutes les cibles publiées par le Ministère depuis 2005. Celles-ci sont réparties en six catégories : cartographie, géochimie, géophysique, modélisation 3D, quaternaire et évaluation de potentiel. Chaque cible est accompagnée d'une description détaillée, incluant un lien actif vers le(s) document(s) dans EXAMINE dans le(s) quel(s) elle a été publiée et que vous pouvez commander.

Comme par les années passées, la position des cibles est présentée dans le Système de Gestion des Titres miniers (GESTIM) à l'adresse suivante :

https://gestim.mines.gouv.qc.ca/MRN_GestimP_Presentation/ODM02101_login.aspx

Vous pouvez aussi obtenir plus d'informations sur nos projets en vous adressant au Bureau de la Connaissance géoscientifique du Québec ou en communiquant par courriel avec les responsables des projets :

Bureau de la connaissance géoscientifique du Québec

400, boulevard Lamaque, bureau 1.02

Val-d'Or (Québec) J9P 3L4

Téléphone : 819 354-4514

Télécopieur : 819 354-4508

Responsable(s)	Projet	Courriel
Isabelle Lafrance	Cartographie – Région du Lac Brisson, Churchill SE	Isabelle.Lafrance@mern.gouv.qc.ca
François Leclerc	Cartographie et compilation – Région du lac Waconichi, Chibougamau	Francois.Leclerc@mern.gouv.qc.ca
Hanafi Hammouche	Cartographie – Région du lac Holmes, Abitibi-Témiscamingue	Hanafi.Hammouche@mern.gouv.qc.ca
Pierre Pilote	Cartographie et compilation – Région du lac De Montigny, Val-d'Or	Pierre.Pilote@mern.gouv.qc.ca
Pénélope Burniaux	Cartographie – Région du lac Dalmas, Baie-James	Penelope.Burniaux@mern.gouv.qc.ca
Guillaume Allard	Géochimie – Réanalyses Baie-James	Guillaume.Allard@mern.gouv.qc.ca
Abdelali Moukhsil	Cartographie – Région de Parent, Haut-Saint-Maurice	Abdelali.Moukhsil@mern.gouv.qc.ca
Siham Benahmed	Géophysique – Levé magnétique aéroporté, rivière Gouin (DP 2014-04)	Siham.Benahmed@mern.gouv.qc.ca

Veuillez noter que 218 cibles d'évaluation de potentiel seront également publiées à Québec Mines 2014. Celles-ci émanent des travaux suivants :

ALLARD, G. – LAMOTHE, D., 2014 – Évaluation du potentiel en minéralisations du type orogénique de la Baie-James. Ministère de l'Énergie et des Ressources naturelles (mise à jour du EP 2008-01, photoprésentation G22).

Enfin, d'autres cibles ont été identifiées durant l'année 2014 dans les publications suivantes :

INTISSAR, R. – BENAHMED, S. – D'AMOURS, I., 2014 – Levé magnétique et spectrométrique aéroporté dans le secteur sud de la rivière George, partie sud-est de la Province de Churchill. Ministère des Ressources naturelles; DP 2014-01, 6 pages. [Ce document identifie 327 anomalies de Keating déterminées à partir d'un levé magnétique aéroporté].

INTISSAR, R. – BENAHMED, S. – D'AMOURS, I., 2014 – Levé magnétique et spectrométrique aéroporté dans le secteur nord de la rivière George, partie sud-est de la Province de Churchill. Ministère des Ressources naturelles; DP 2014-02, 6 pages. [Ce document identifie 269 anomalies de Keating déterminées à partir d'un levé magnétique aéroporté].

INTISSAR, R. – BENAHMED, S. – D'AMOURS, I., 2014 – Levé magnétique et spectrométrique aéroporté dans la partie nord de l'Orogène de l'Ungava, Province de Churchill. Ministère des Ressources naturelles; DP 2014-03, 6 pages. [Ce document identifie 1102 anomalies de Keating déterminées à partir d'un levé magnétique aéroporté].

BENAHMED, S. – INTISSAR, R. – THÉRIAULT, R., 2014 – Levé magnétique aéroporté dans le secteur du réservoir Gouin, Province géologique du Grenville. Ministère de l'Énergie et des Ressources naturelles; DP 2014-04, 8 pages. [Ce document identifie 192 anomalies de Keating déterminées à partir d'un levé magnétique aéroporté].

www.mern.gouv.qc.ca/produits-services/mines.jsp

Dépôt légal – Bibliothèque et Archives nationales du Québec, 2014

© Gouvernement du Québec, 2014

Édition : Claude Dion

Compilation des données : Mehdi A. Guemache

Graphisme : André Tremblay

Numéro et nom	Taille	Localisation (UTM NAD83)	Feuillet SNRC	Projet	Photoprésentation	Responsable(s)	Substance(s)	Description
Province du Churchill (Grand Nord) – Région administrative Nord-du-Québec								
(1) Zone d'altération potassique	Régionale	Zone 20 335716 mE 6278785 mN à 335848 mE 6267210 mN	24A12	Cartographie – Région du lac Brisson, Churchill SE	G26	Isabelle Lafrance Daniel Bandayvera Carl Bliodeau	Cu-Au	Corridors bréchiques continus de 10 m de large avec remplacement de QZ-MG au contact gabbro-monzodiorite porphyrique. Altération potassique invasive coupée par altération de basse température (HM-EP), PY ± CP disséminées dans brèche et gabbro.
(2) Zones de volcanites minéralisées	Régionale	Zone 20 378152 mE 6259674 mN à 381390 mE 6246868 mN	24A07	Cartographie – Région du lac Brisson, Churchill SE	G26	Isabelle Lafrance Daniel Bandayvera Carl Bliodeau	Variées	Petits niveaux rouillés décimétriques à métriques dans volcanites intermédiaires à felsiques, rarement mafiques. Minéralisations à PY-PO ± CP associées à la fracturation tardive et altération de basse température (HM+, St+).
(3) Intrusions potassiques	Régionale	Zone 20 344301 mE 6339617 mN à 344955 mE 6336456 mN	24H04	Cartographie – Région du lac Brisson, Churchill SE	G26	Isabelle Lafrance Daniel Bandayvera Carl Bliodeau	Variées	Métaux rares et usuels associés à des intrusions potassiques massives. Minéralisation varie selon l'encastement : sulfures disséminés dans monzogabbro, oxydes et MO disséminés ou fluorine dans fractures dans syénite à feldspath alcalin.
(4) Migmatites minéralisées	Régionale	Zone 20 387514 mE 6344179 mN à 388891 mE 6329025 mN	24H02	Cartographie – Région du lac Brisson, Churchill SE	G26	Isabelle Lafrance Daniel Bandayvera Carl Bliodeau	Variées	Minéralisations associées au mobilisé granitique riche en QZ, parfois dans paragneiss à GR-GP migmatitisés. Zones rouillées de <2 m d'épaisseur et parfois >30 m de longueur, regroupées sur plusieurs centaines de mètres. PY-PO en amas <2 cm.
(5) Phiroda	Locale	Zone 20 405784 mE 6398007 mN	24H10	Cartographie – Région du lac Brisson, Churchill SE	G26	Isabelle Lafrance Daniel Bandayvera Carl Bliodeau	Ni-Cu-Cr-ÉGP	Minéralisation Ni-Cu-Cr-ÉGP dans intrusion ultramafique kilométrique injectée dans séquence sédimentaire localisée à la surface Zone moyau-Orogène des Torngat. Quatre éch. (3 % SF) avec jusqu'à 0,8 % Ni, 0,93 % Cr, 0,13 % Cu, 61 ppb Pd et 11 ppb Pt.
Province du Supérieur (Baie-James) – Région administrative Nord-du-Québec								
(6) Adina (14-AB-6048A)	Ponctuelle	Zone 18 667601 mE 5908518 mN	33H08	Cartographie – Région du lac Dalmas, Baie-James	G27	Pénélope Burniaux Mehdi A. Guemache Joséphine Gigon Jean Goutier	Li-Be-Nb-Ta	Granite pegmatitique à spodumène. Un échantillon a donné 1570 ppm Li, 355 ppm Be, 50 ppm Ta et 88 ppm Nb.
(7) Lac La Savonnière	Régionale	Zone 18 690026 mE 5930422 mN à 682264 mE 5930037 mN	33H08	Cartographie – Région du lac Dalmas, Baie-James	G27	Pénélope Burniaux Mehdi A. Guemache Joséphine Gigon Jean Goutier	Cr	Intrusions ultramafiques riches en Cr (<0,86 % Cr ₂ O ₃) associées à de fortes anomalies magnétiques positives.
(8) 14-PB-1086A	Locale	Zone 18 683755 mE 5910341 mN	33H08	Cartographie – Région du lac Dalmas, Baie-James	G27	Pénélope Burniaux Mehdi A. Guemache Joséphine Gigon Jean Goutier	Cr	Intrusion ultramafique riche en Cr (<0,83 % Cr ₂ O ₃) associées à de fortes anomalies magnétiques positives.
(9) Deuxième chance (96-DB-2143)	Ponctuelle	Zone 18 681571 mE 5940723 mN	33H09	Cartographie – Région du lac Dalmas, Baie-James	G27	Pénélope Burniaux Mehdi A. Guemache Joséphine Gigon Jean Goutier	Zn-As-Au	Amphibolites altérées de la Fm. de l'Escalpe riches en SF (AS-PY-SP-PO). Deux échantillons ont titré 8730 ppm Zn, 1730 ppm As, 0,25 ppm Au et 440 ppm Zn, 3,78 % As, 0,43 ppm Au.
(10) Marasi (14-LM-7083)	Ponctuelle	Zone 19 307173 mE 5932409 mN	23E12	Cartographie – Région du lac Dalmas, Baie-James	G27	Pénélope Burniaux Mehdi A. Guemache Joséphine Gigon Jean Goutier	Au-As	Amphibolites rouillées et altérées de la Fm. de Dalmas avec <25 % sulfures (AS-PY-PO). Métasomatisme calcosulfaté. Deux échantillons ont donné 2,45 ppm Au, 4,29 % As, 943 ppm Cu, 993 ppm Co et 1010 ppm Cu, 0,29 ppm Au.
(11) Lac Larbosière	Régionale	Zone 18 695031 mE 5956846 mN à 316988 mE 5941507 mN	23E12 33H09	Cartographie – Région du lac Dalmas, Baie-James	G27	Pénélope Burniaux Mehdi A. Guemache Joséphine Gigon Jean Goutier	Cr	Ensemble ultramafique (volcanites et intrusions) riche en Cr (<0,71 % Cr ₂ O ₃). Potentiel pour minéralisations de Ni-Cu compte tenu du volume et de la présence de métasédiments et de formations de fer sulfurées sous-jacentes.

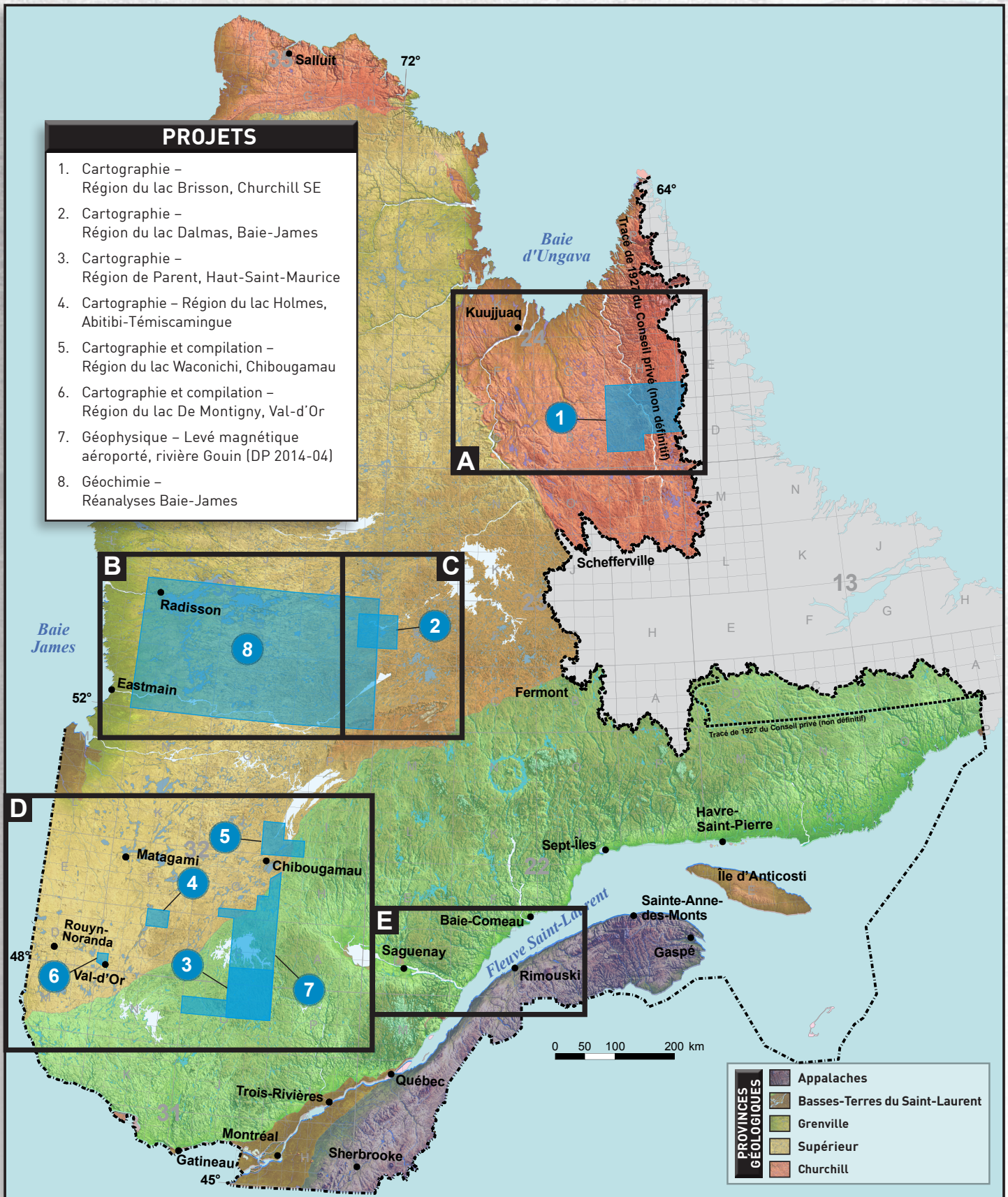
Numéro et nom	Taille	Localisation (UTM NAD83)	Feuillet SNRC	Projet	Photoprésentation	Responsable(s)	Substance(s)	Description
Province du Supérieur (Baie-James) – Région administrative Nord-du-Québec								
(12) Géofiche JG-106 (Échantillon HN-4054 (Échantillon 2000024743))	Ponctuelle	Zone 18 342923 mE 5920990 mN	33F06	Géochimie – Réanalyses Baie-James	G22	Guillaume Allard Jean Goutier	Au	Rhyolite chloritisée légèrement minéralisée en PY. Les réanalyses ont rapporté 1010 ppb Au à proximité d'une zone de cisaillement E-W au contact entre les volcaniques du Gr. de Yasinski et les sédiments de la Fm. d'Ekomiak.
(13) Géofiche HN-4054 (Échantillon 2000024743)	Ponctuelle	Zone 18 296944 mE 5784168 mN	33C04	Géochimie – Réanalyses Baie-James	G22	Guillaume Allard Jean Goutier	Terres rares	Paragneiss de la Fm. d'Auclair formés d'une alternance de lits riches en andalousite, biotite et grenat. Les réanalyses ont donné 2487 ppm de terres rares totales.
(14) Échantillon 1994000827	Ponctuelle	Zone 18 367735 mE 5894041 mN	33F02	Géochimie – Réanalyses Baie-James	G22	Guillaume Allard Jean Goutier	Ag	Arénite quartzitique de la Fm. d'Apple titrant 7 ppm Ag, 1940 ppm Pb et 927 ppm Zn à la suite d'une réanalyse.
(15) Géofiche DD-9012 (Échantillon 1997014917)	Ponctuelle	Zone 18 322967 mE 5890395 mN	33F04	Géochimie – Réanalyses Baie-James	G22	Guillaume Allard Jean Goutier	Ag	Basalte massif légèrement folié du Gr. de Yasinski. On a obtenu 5 ppm Ag à la réanalyse.
(16) Géofiche CD-5643 (Échantillon 1997015129)	Ponctuelle	Zone 18 346332 mE 5913970 mN	33F06	Géochimie – Réanalyses Baie-James	G22	Guillaume Allard Jean Goutier	Cu	Basalte coussiné schisteux du Gr. de Yasinski. Les réanalyses indiquent une valeur de 5040 ppm Cu.
(17) Géofiche JY-66 (Échantillon 1997015606)	Ponctuelle	Zone 18 458840 mE 5770580 mN	33B04	Géochimie – Réanalyses Baie-James	G22	Guillaume Allard Jean Goutier	Zn	Basalte schisteux veiné de la Fm. d'Anaconda. Les réanalyses ont rapporté 6,84 % Zn.
(18) Géofiche DL-152 (Échantillon 1998017243)	Ponctuelle	Zone 18 319704 mE 5920787 mN	33E05	Géochimie – Réanalyses Baie-James	G22	Guillaume Allard Jean Goutier	Ni	Lentille ultramafique porphyrique (péridotite) dans une volcanite mafique de la Fm. de Mercator titrant 2590 ppm Ni et 1330 ppm Cr.
(19) Géofiche JM-98064 (Échantillon 1998020906)	Ponctuelle	Zone 18 373113 mE 5894535 mN	33F02	Géochimie – Réanalyses Baie-James	G22	Guillaume Allard Jean Goutier	Ni	Formation de fer oxydée (3 m d'épaisseur) dans une arénite quartzitique de la Fm. d'Apple. Teneurs de 1,8 % Ni, 2880 ppm Cu et 5140 ppm Cr à la réanalyse.
(20) Géofiche JG-1645 (Échantillon 2000026655)	Ponctuelle	Zone 18 487591 mE 5928135 mN	33G11	Géochimie – Réanalyses Baie-James	G22	Guillaume Allard Jean Goutier	Ni	Niveau de serpentinite fracturée à grain fin dans une péridotite du Gr. de Guyer. Les réanalyses ont donné 2570 ppm Ni et 2610 ppm Cr.
Province du Supérieur (Chibougamau) – Région administrative Nord-du-Québec								
(21) Route 167 - Sud du lac Waconichi-1	Ponctuelle	Zone 18 562375 mE 5541045 mN	32J01	Cartographie et compilation – Région du lac Waconichi, Chibougamau	G16-G17	François Leclerc Francis Talia Takam	Au	Zone de déformation rouillée d'épaisseur métrique affectant un basalte altéré en chlorite et silice avec PY massive.
(22) Route 167 - Sud du lac Waconichi-2	Ponctuelle	Zone 18 559789 mE 5539561 mN	32J01	Cartographie et compilation – Région du lac Waconichi, Chibougamau	G16-G17	François Leclerc Francis Talia Takam	Au	Intrusion felsique à phénocristaux de plagioclase avec PY massive, en veinules, en amas et en nodules.
(23) Route 167 - Est du lac Waconichi	Ponctuelle	Zone 18 574036 mE 5550899 mN	32I04	Cartographie et compilation – Région du lac Waconichi, Chibougamau	G16-G17	François Leclerc Francis Talia Takam	Au	Basalte massif, coussiné et bréchique, ankéritisé avec PY massive.
(24) Est du lac Duberger	Locale	Zone 18 592531 mE 5557626 mN	32I04	Cartographie et compilation – Région du lac Waconichi, Chibougamau	G16-G17	François Leclerc Francis Talia Takam	Au-Cu	Intrusion felsique à PY-CP-PO disséminées, encaissée dans volcanite mafique amphibolitisée.
(25) Rivière Rock	Ponctuelle	Zone 18 538808 mE 5583239 mN	32J08	Cartographie et compilation – Région du lac Waconichi, Chibougamau	G16-G17	François Leclerc Francis Talia Takam	Cu-Ni-Cr-ÉGP	Péridotite à chromite. Altération en serpentine partiellement remplacée par actinote et trémolite. Teneurs de 4380 ppm Cr et 982 ppm Ni.

Numéro et nom	Taille	Localisation (UTM NAD83)	Feuillelet SNRC	Projet	Photoprésentation	Responsable(s)	Substance(s)	Description
Province du Supérieur (Malartic) – Région administrative Abitibi-Témiscamingue								
(26) Val-d'Or - 1	Régionale	Zone 18 277 050 mE 534 1200 mN à 292550 mE 5337800 mN	32C04	Cartographie et compilation – Région du lac De Montigny	G28	Pierre Pilote	Au	Zone de déformation associée à la Faille de la rivière Héva. Veines de OZ-CB potentiellement aurifères. Contexte de la mine Siscoe.
(27) Val-d'Or - 2	Régionale	Zone 18 288900 mE 5329000 mN à 295130 mE 5328650 mN	32C04	Cartographie et compilation – Région du lac De Montigny	G28	Pierre Pilote	Au	Extension possible de la zone de déformation Marbenite-Norbenite vers l'est. Veines de OZ-CB-TL potentiellement aurifères. Contexte des mines Goldex et Lamaque.
Province du Supérieur (Abitibi Nord-Est) – Région administrative Abitibi-Témiscamingue								
(28) Indice Kiask	Ponctuelle	Zone U18 373113 mE 5428437 mN	32C15	Cartographie – Région du lac Holmes	G34	Hanafi Hammouche Abdelali Kharis	Au	Zone rouillée à sulfures visible sur 0,3 m x 2 m dans volcanite mafique. Minéralisation liée à un couloir de déformation NW-SE qui contient des indices aurifères connus.
(29) Indice NR-3156	Ponctuelle	Zone U18 372850 mE 5428639 mN	32C15	Cartographie – Région du lac Holmes	G34	Hanafi Hammouche Abdelali Kharis	Ni-Cr ± ÉGP	Filon-couche ultramafique riche en Cr, encaissé dans volcanites mafiques. Un échantillon choisi a donné 1,02 % Cr ₂ O ₃ et 0,11 % Ni.
(30) AK-2014	Ponctuelle	Zone U18 380229 mE 5428960 mN	32C15	Cartographie – Région du lac Holmes	G34	Hanafi Hammouche Abdelali Kharis	Cu	Niveau rouillé >0,6 m très riche en SF (PY-PO-CP) dans amphibolite gabbroïque. L amphibolite est associée à une anomalie magnétique positive sur environ 2 km. Un échantillon en saignée a donné 0,11 % Cu sur 0,4 m.
(31) AK-2031	Régionale	Zone U18 381870 mE 5428630 mN à 384660 mE 5427110 mN	32C15	Cartographie – Région du lac Holmes	G34	Hanafi Hammouche Abdelali Kharis	V-Ti	Filon-couche de gabbro avec teneurs anormales en V-Ti. Un échantillon choisi a donné 460 ppm V et 1,67 % Ti. Forte signature magnétique positive suggérant une extension d'environ 3 km.
(32) MC-6021	Locale	Zone U18 367216 mE 5424188 mN à 367038 mE 5424468 mN	32C15	Cartographie – Région du lac Holmes	G34	Hanafi Hammouche Abdelali Kharis	Ni-Cr ± ÉGP	Roche ultramafique serpentinisée, bréchifiée par endroits. Des échantillons choisis ont donné 0,64 % à 0,86 % Cr ₂ O ₃ , 0,13 % à 0,15 % Ni et 82 ppb à 153 ppb Au. Associée à forte anomalie magnétique positive de 650 m x 350 m.
(33) HH-1034	Régionale	Zone U18 380660 mE 5426010 mN à 381710 mE 5424210 mN	32C15	Cartographie – Région du lac Holmes	G34	Hanafi Hammouche Abdelali Kharis	Ni-Cr ± ÉGP	Intrusion ultramafique d'affinité komatiitique de 2 km x 0,5 km associée à une forte anomalie magnétique positive. Teneurs jusqu'à 0,33 % Cr ₂ O ₃ , 0,14 % Ni et 153 ppb Au.
(34) YD-4107	Régionale	Zone U18 376952 mE 5408859 mN à 379035 mE 5410061 mN	32C15	Cartographie – Région du lac Holmes	G34	Hanafi Hammouche Abdelali Kharis	Ni-Cr ± ÉGP	Intrusion ultramafique NE-SW, de 2,4 km x 0,4 km. Un échantillon a titré 0,31 % Cr ₂ O ₃ et 0,12 % Ni. L'intrusion est associée à une forte anomalie magnétique.
(35) HH-1139	Régionale	Zone U18 368140 mE 5416300 mN à 383050 mE 5416030 mN	32C15	Cartographie – Région du lac Holmes	G34	Hanafi Hammouche Abdelali Kharis	Ni-Cr ± ÉGP	Filons-couches ultramafiques discontinus reconnus sur >9 km, encaissés dans des amphibolites basaltiques. Très forte anomalie magnétique positive sur >15 km. Tous les échantillons présentent des teneurs anormales en Cr (<0,64 % et en Ni (<0,12 %).
Province de Grenville – Régions administratives Mauricie – Côte-Nord								
(36) Raoul (14-PA-3097B)	Ponctuelle	Zone 18 535989 mE 5309822 mN	31O15	Cartographie – Région de Parent, Haut-Saint-Maurice	G29	Abdelali Moukhsil Fabien Solgadi	Terres rares	Dyke de pegmatite granitique rosâtre (1 cm à 4 m) coupant un paragneiss à biotite, sillimanite et PY, teneurs de 7300 ppm de terres rares totales (935 ppm Nd).
(37) Hallsparche (14-FS-4203B)	Ponctuelle	Zone 18 568789 mE 5329531 mN	32B01	Cartographie – Région de Parent, Haut-Saint-Maurice	G29	Abdelali Moukhsil Fabien Solgadi	Terres rares	Dyke de pegmatite granitique à texture graphique (10 cm à 3 m de large x 10 m de longueur) avec cristaux de biotite et d'allanite (mm). Teneurs de 837 ppm de terres rares totales (1520 ppm Nd).

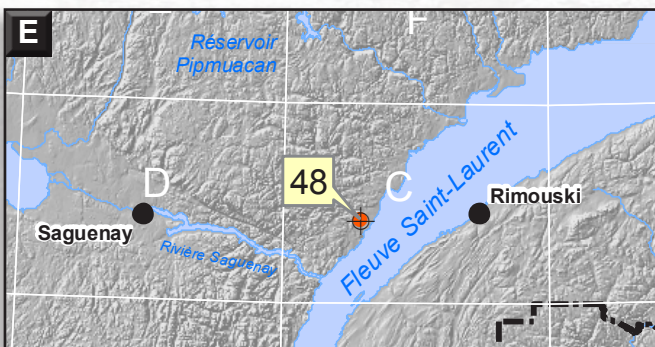
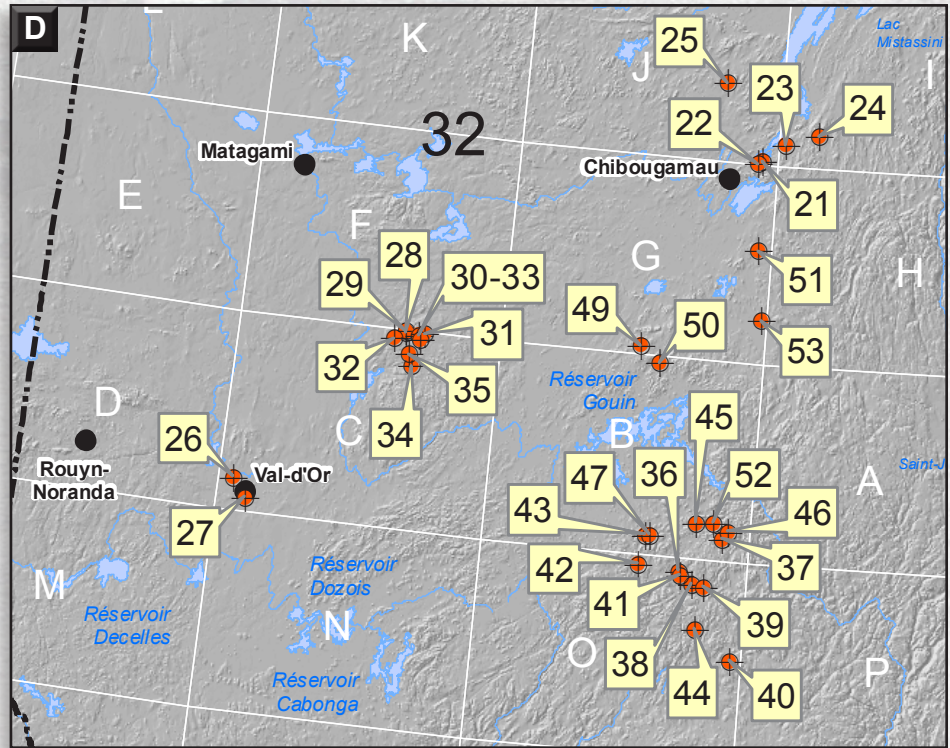
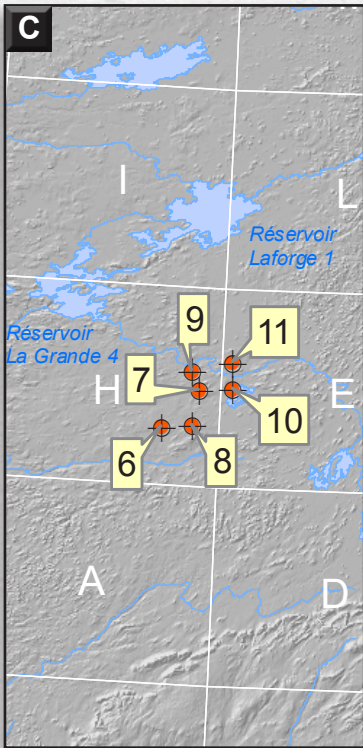
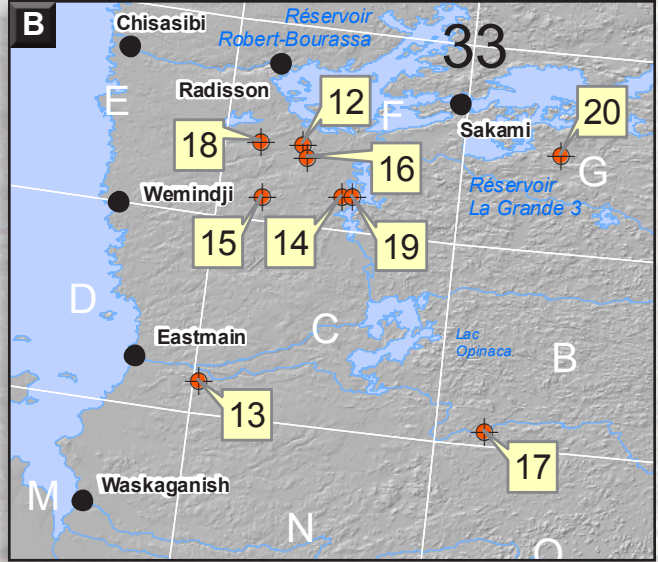
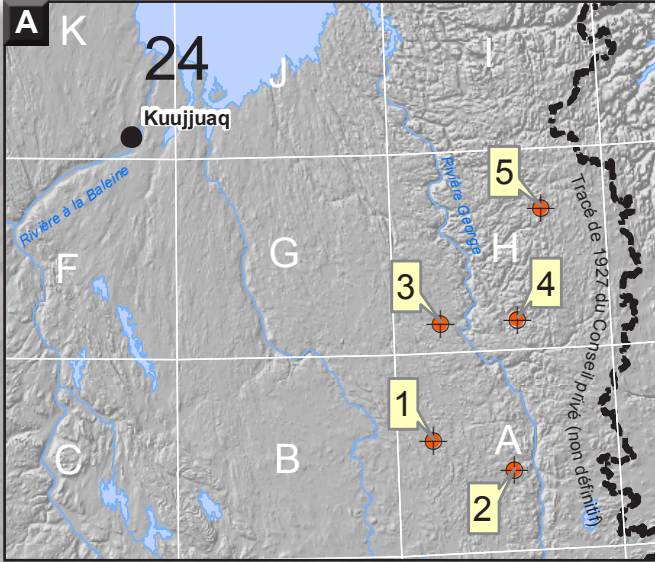
Numéro et nom	Taille	Localisation (UTM NAD83)	Feuilleit SNRC	Projet	Photoprésentation	Responsable(s)	Substance(s)	Description
(38) Lars (14-AM-241A)	Locale	Zone 18 543838 mE 5303238 mN	31O16	Cartographie – Région de Parent, Haut-Saint-Maurice	G29	Abdelali Moukhsil Fabien Solgadi	Terres rares	Syénogranite rosâtre à grain moyen à grossier. Teneur de 1067 ppm de terres rares totales.
(39) Capimit (14-AM-023)	Ponctuelle	Zone 18 550714 mE 5302730 mN	31O16	Cartographie – Région de Parent, Haut-Saint-Maurice	G29	Abdelali Moukhsil Fabien Solgadi	Terres rares, Nb	Dyke de pegmatite granitique rosâtre (1 cm à 20 cm de large) injecté dans une mangrèite. Teneurs de 1208 ppm de terres rares totales, 157 ppm Nb, 15 ppm Ta.
(40) Manouane (14-PA-3067G)	Ponctuelle	Zone 18 568919 mE 5262885 mN	31O09	Cartographie – Région de Parent, Haut-Saint-Maurice	G29	Abdelali Moukhsil Fabien Solgadi	Cu	Minéralisation de sulfures en veines et disséminées au contact entre un leucogabbro et un granite (2 m de largeur sur 30 m de longueur). Présence d'environ 5 % de sulfures (PO-CP-PY). Teneur de 3390 ppm Cu.
(41) Dumais (14-SB-6132E)	Ponctuelle	Zone 18 537429 mE 5307930 mN	31O16	Cartographie – Région de Parent, Haut-Saint-Maurice	G29	Abdelali Moukhsil Fabien Solgadi	Cu-Ni	Veines de sulfures massifs (1 à 5 cm de large) à PY-CP et bornite encaissées dans zone silicifiée à PY coupant une mangrèite et un granite rose. Teneurs de 1020 ppm Cu, 719 ppm Ni, 516 ppm Co.
(42) Wabash sud (14-AM-209D)	Ponctuelle	Zone 18 513109 mE 5312325 mN	32O15	Cartographie – Région de Parent, Haut-Saint-Maurice	G29	Abdelali Moukhsil Fabien Solgadi	Cu-Ni	Boudin de pyroxénite décimétrique dans roche silicifiée à PY. Les sulfures (1 %, PY-CP-PO) sont disséminés dans la pyroxénite. Teneurs de 1570 ppm Cu, 604 ppm Ni.
(43) Lejbie (14-TC-5021A et 14-SB-6247A)	Ponctuelle	Zone 18 515585 mE 5328483 mN	32B02	Cartographie – Région de Parent, Haut-Saint-Maurice	G29	Abdelali Moukhsil Fabien Solgadi	P (apatite)	Minéralisation en oxydes (5 % oxydes de fer et titane) et apatite (6 à 7 %) dans gabbroïtite porphyrique à xénoctistaux de feldspath potassique. Teneurs de 3,37 % P ₂ O ₅ , 12 % Fe, 3,44 % TiO ₂ .
(44) Lac Feu (14-FS-1205B)	Ponctuelle	Zone 18 548183 mE 5278736 mN	31O09	Cartographie – Région de Parent, Haut-Saint-Maurice	G29	Abdelali Moukhsil Fabien Solgadi	Zn	Boudin décimétrique de grenatite à clinopyroxène en contact avec roche mafique. Teneur de 2330 ppm Zn.
(45) Fourchu (14-FS-1214A)	Ponctuelle	Zone 18 543479 mE 5337075 mN	32B01	Cartographie – Région de Parent, Haut-Saint-Maurice	G29	Abdelali Moukhsil Fabien Solgadi	Graphite-Zn	Minéralisation en graphite dans paragneiss siliceux à PY (5 %). Graphite en paillettes millimétriques disséminées <6 % dans la roche hôte. Valeurs anormales en Zn. Teneurs de 3,50 % C, 1370 ppm Zn.
(46) Jean-Pierre (14-FS-1200A)	Ponctuelle	Zone 18 561259 mE 5334544 mN	32B01	Cartographie – Région de Parent, Haut-Saint-Maurice	G29	Abdelali Moukhsil Fabien Solgadi	Graphite	Paragneiss à GR et graphite (PY en traces). Le graphite (<10 %) est disséminé en paillettes millimétriques orientées dans la gneissosité. Teneurs de 3,28 % C.
(47) Wilbo (14-AM-005A)	Ponctuelle	Zone 18 518019 mE 5328930 mN	32B02	Cartographie – Région de Parent, Haut-Saint-Maurice	G29	Abdelali Moukhsil Fabien Solgadi	Graphite	Paragneiss à GR et graphite (PY en traces). Le graphite (<8 %) est disséminé en paillettes millimétriques. Teneurs de 3,97 % C.
(48) Rémi (14-PA-817-7-12)	Ponctuelle	Zone 19 468230 mE 5364050 mN	22C06	Cartographie – Projet Escoumins	G15	Pierre-Arthur Groulier Abdelali Moukhsil	Cu-Ag	Veines décimétriques à métriques de OZ-EP (AB-AM-CL et GR-titanite) au sein de metabasites minéralisées en bornite et malachite. Teneurs jusqu'à 0,55 % Cu et 1,1 ppm Ag.
Provinces de Grenville et du Supérieur – Régions administratives Saguenay-Lac-Saint-Jean – Mauricie – Nord-du-Québec								
(49) Lac Florimond (28)	Ponctuelle	Zone 18 504150 mE 5432474 mN	32G02	Géophysique – Levé magnétique aéroporté, réservoir Gouin (DP 2014-04)	G33	Siham Benahmed Rachid Intissar	Kimberlite	Anomalie circulaire ayant un coefficient de Keating de 96 % et une forte amplitude de 682,56 (cylindre de 100 m de rayon). Réseau complexe de dykes à proximité. L'anomalie fait partie du couloir structural de Waswanipi-Saguenay.
(50) Lac Otto (59)	Ponctuelle	Zone 18 515475 mE 5424149 mN	32B15	Géophysique – Levé magnétique aéroporté, réservoir Gouin (DP 2014-04)	G33	Siham Benahmed Rachid Intissar	Kimberlite	Anomalie circulaire ayant un coefficient de Keating de 96 % et une forte amplitude de 218,58 (cylindre de 100 m de rayon). L'anomalie appartient au couloir structural de Waswanipi-Saguenay.
(51) Lac du Cacao (155)	Ponctuelle	Zone 18 564150 mE 5490869 mN	32G09	Géophysique – Levé magnétique aéroporté, réservoir Gouin (DP 2014-04)	G33	Siham Benahmed Rachid Intissar	Kimberlite	Anomalie isolée, forme arrondie, coefficient de Keating à 97 % et forte amplitude de 231,48 (cylindre de 100 m de rayon).
(52) Lac Baptiste (125)	Ponctuelle	Zone 18 552900 mE 5337974 mN	32B01	Géophysique – Levé magnétique aéroporté, réservoir Gouin (DP 2014-04)	G33	Siham Benahmed Rachid Intissar	Kimberlite	Anomalie isolée, forme arrondie, coefficient de Keating de 90 % et forte amplitude de 308,38 (cylindre de 100 m de rayon). L'anomalie appartient au couloir structural de Mégiscane-Chasseur.
(53) Lac de l'Histoire	Régionale	Zone 18 572608 mE 5452603 mN à 567071 mE 5452630 mN	32G01	Géophysique – Levé magnétique aéroporté, réservoir Gouin (DP 2014-04)	G33	Siham Benahmed Rachid Intissar	Kimberlite	Deux anomalies circulaires ayant des coefficients de Keating de 92 % et 93 % et de fortes amplitudes (cylindre de 100 m de rayon), au-dessus d'une anomalie positive orientée E-W. Intrusion ultramafique à proximité.

Les coordonnées représentent le centre d'une cible ponctuelle/locale ou les deux extrémités d'une cible régionale.

LOCALISATION DES PROJETS GÉOSCIENTIFIQUES 2014



LOCALISATION DES CIBLES D'EXPLORATION MINÉRALE



 Cible d'exploration minérale

Énergie et Ressources
naturelles

Québec 